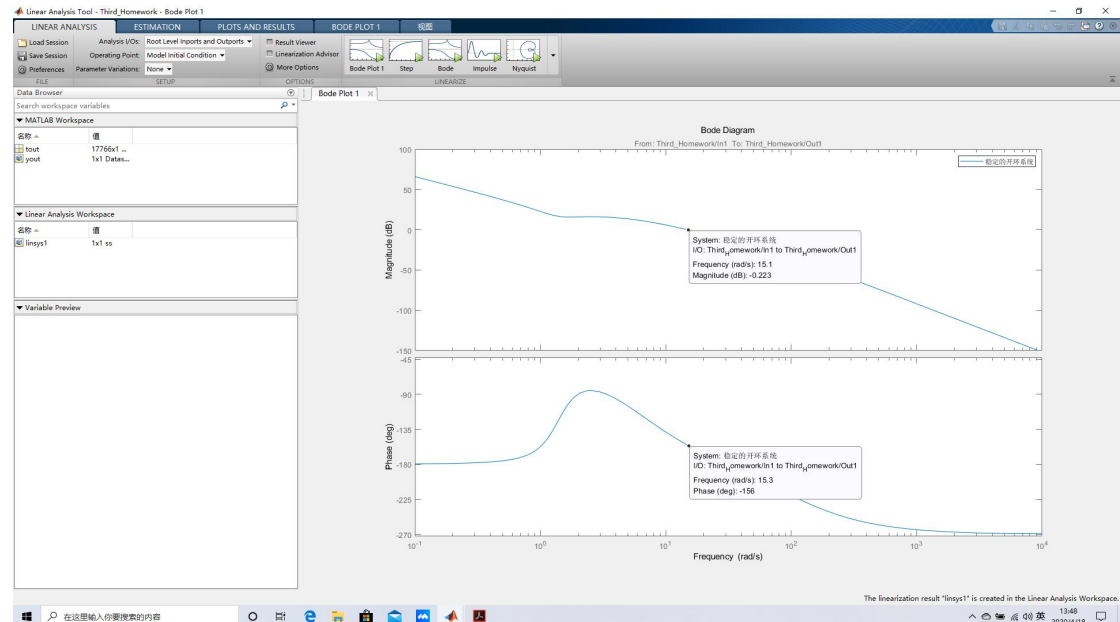


1. 首先构建一个稳定的开环系统

由于更改了 PID 控制器，所以又重新调节了一下系统，保证其开环稳定。

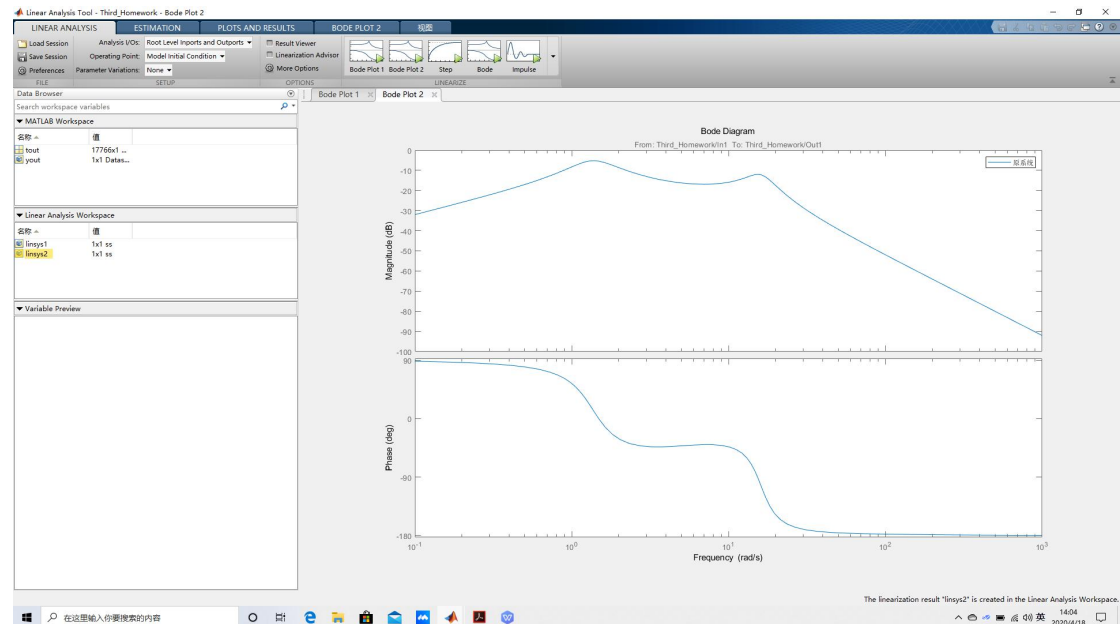
取 $K_p=0.2$, $K_i=2$, $K_d=1$;

$$\text{滞后环节 } G_c(s) = \frac{0.02s+1}{0.2s+1}$$



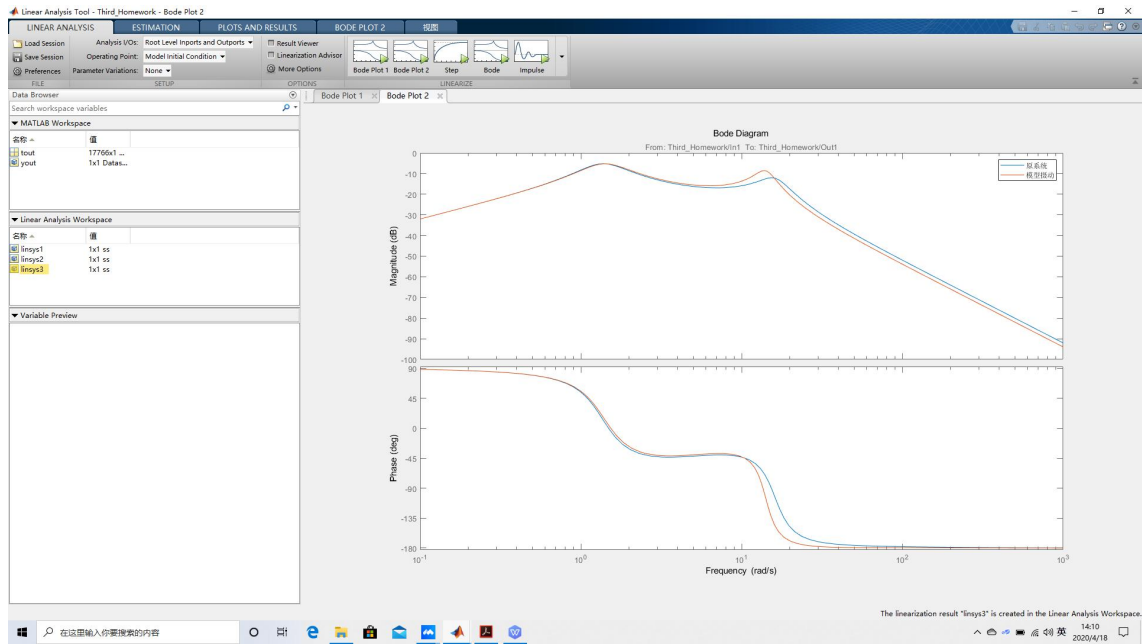
2. 绘制扰动到输出的闭环 Bode 图（不含干扰观测器）

$$\text{被控对象传函为 } G(s) = \frac{5}{0.2s+1}$$

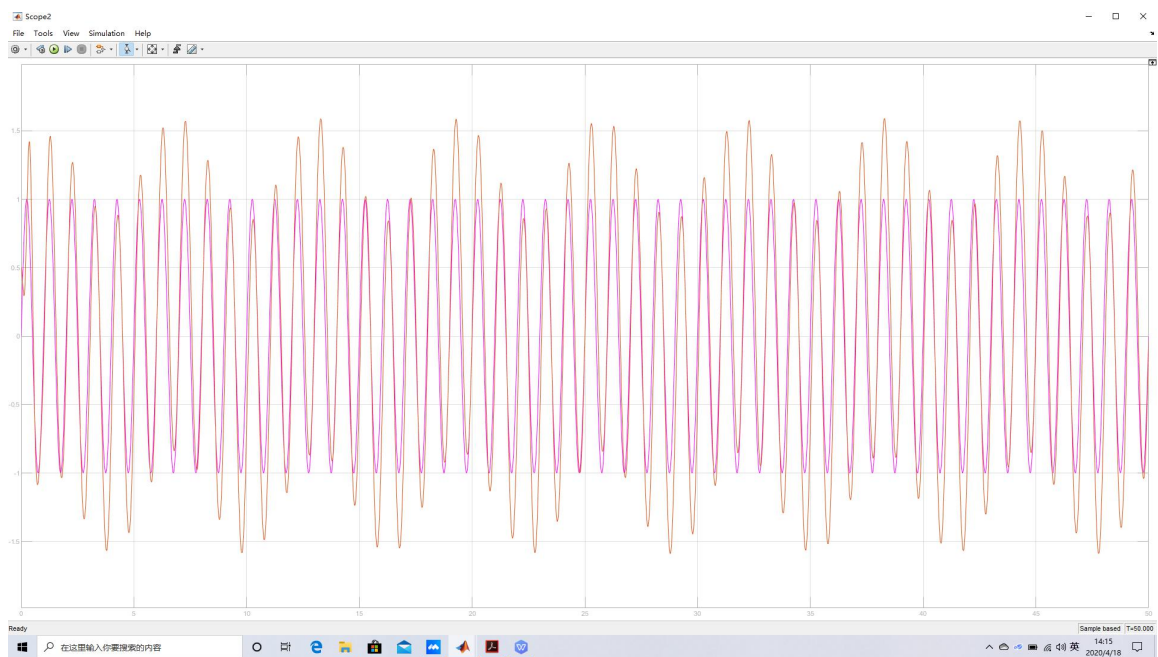


$$\text{当模型发生摄动的时候，被控对象的传函为 } G(s) = \frac{10}{0.5s+1}$$

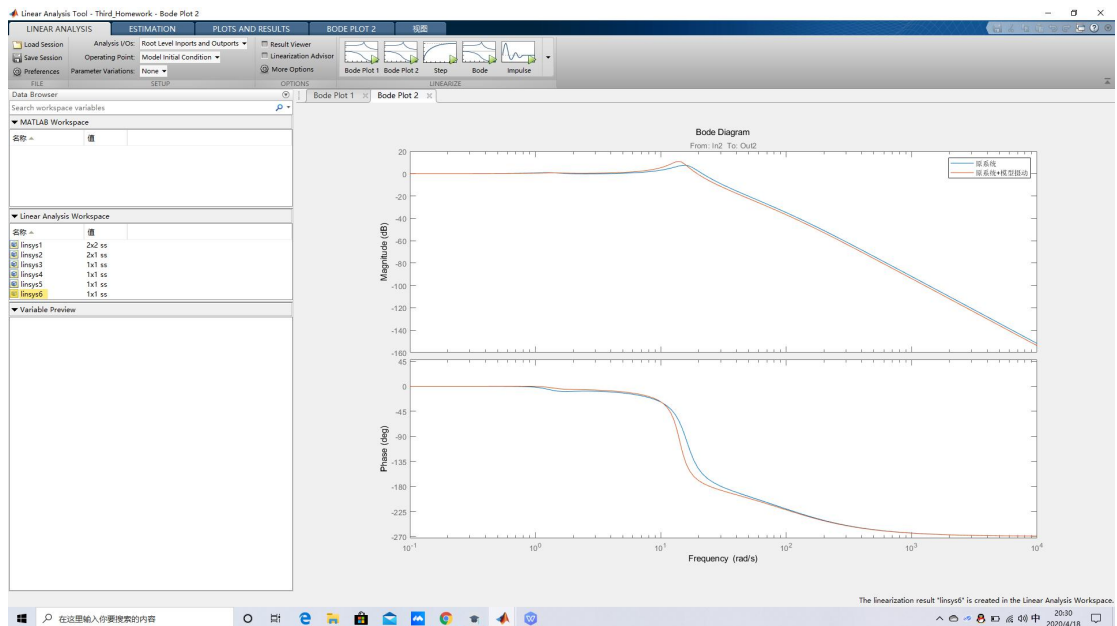
再次绘制系统闭环 Bode 图:



加入正弦指令信号后，进行响应的分析：
粉色为指令信号，黄色为响应信号，可见扰动非常大！



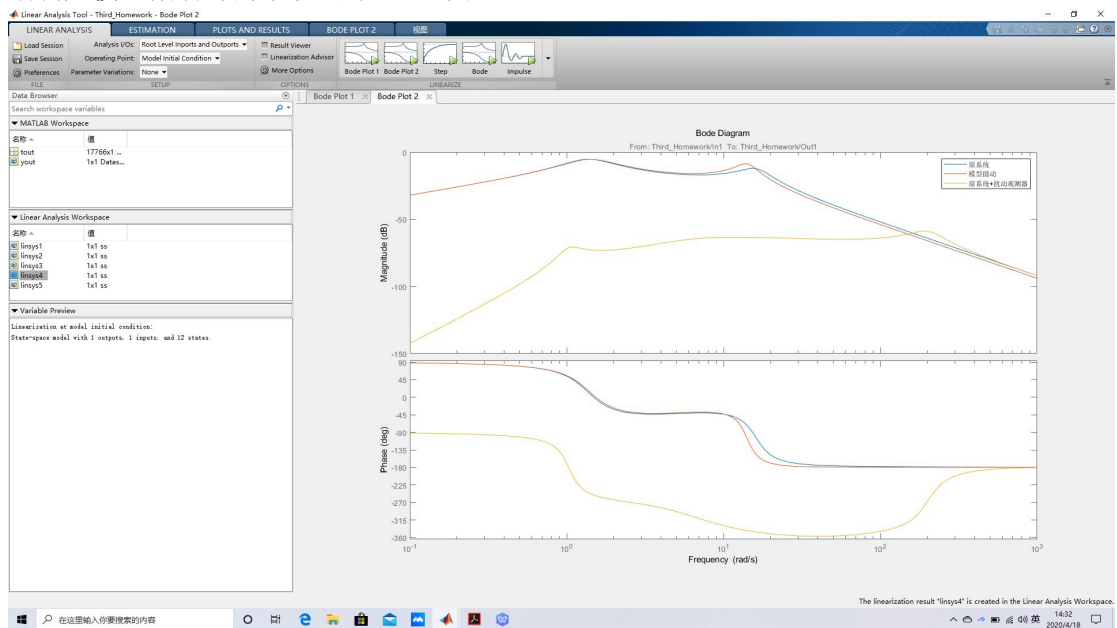
分别画出从输入到输出的闭环 Bode 图：



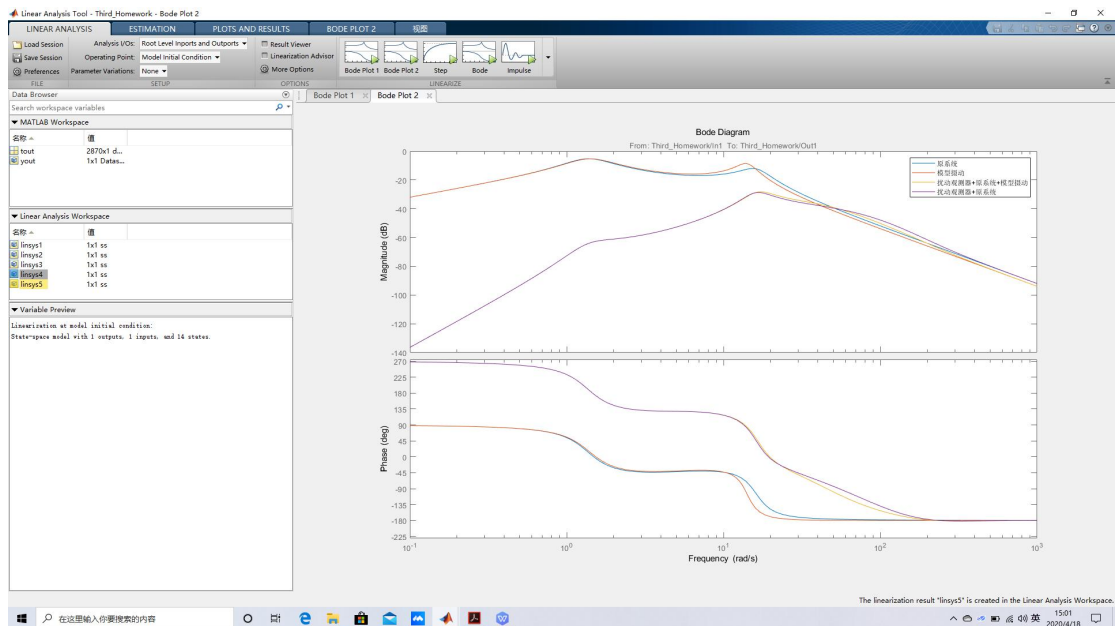
3. 加入扰动观测器:

$$Q(s) = \frac{4s+1}{(s+1)^4}$$

绘制无模型摄动时的系统闭环 Bode 图

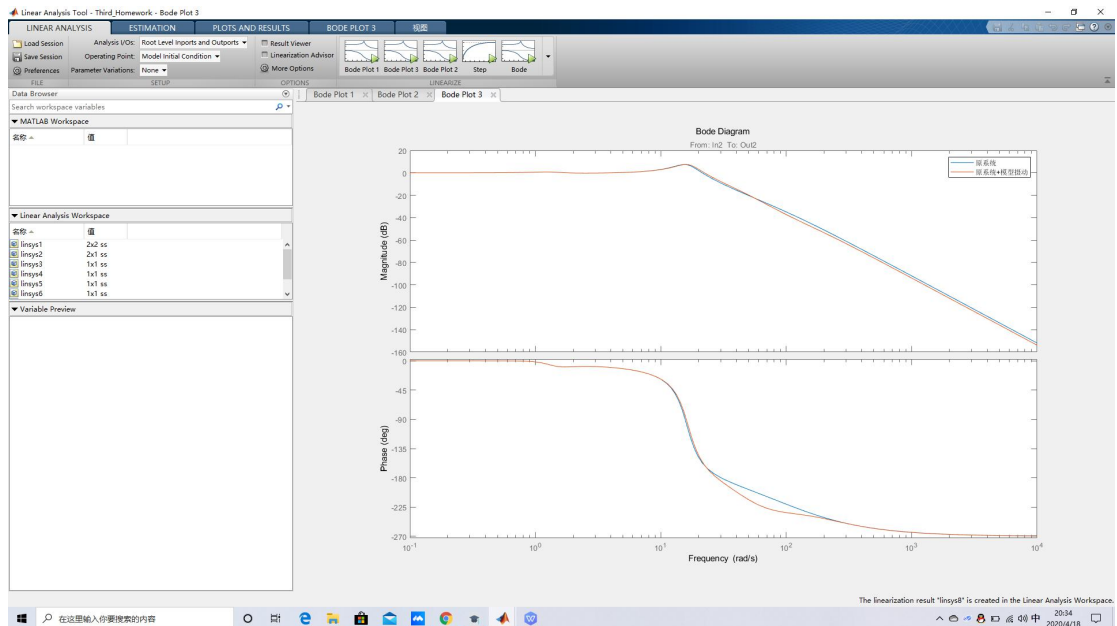


绘制模型摄动时的系统闭环 Bode 图



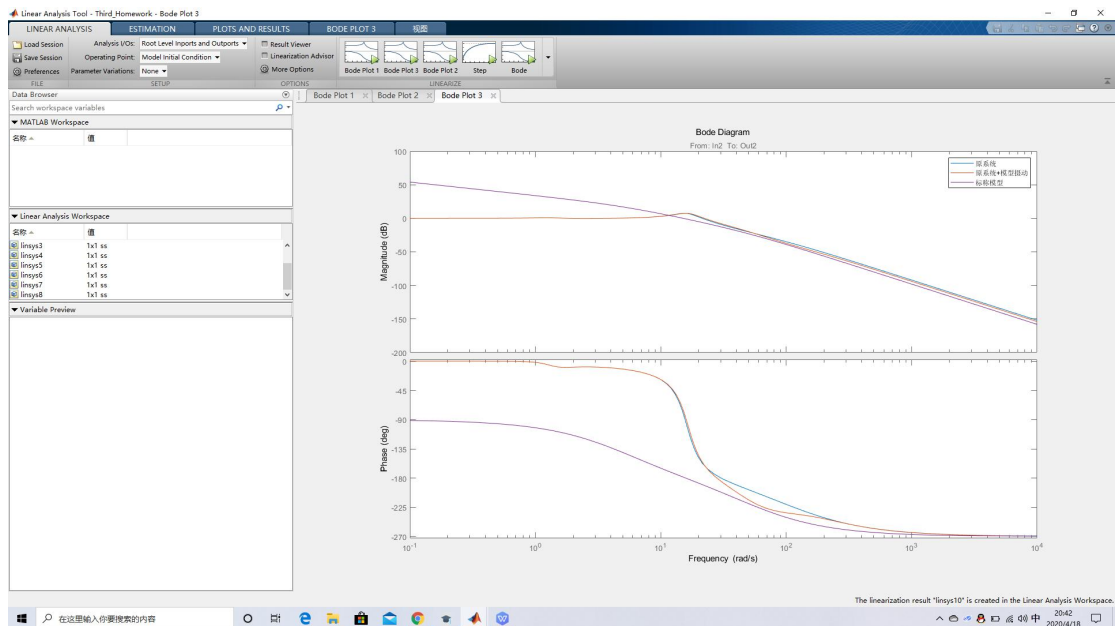
发现加入干扰观测器可以明显降低从扰动到输出的闭环 Bode 图，这显然对扰动的抑制有好处。

再观察一下系统从输入到输出的闭环 Bode 图：



发现在低频段，扰动前后的闭环 Bode 图几乎没有变化

再绘制标称模型
$$G_0(s) = \frac{50}{(0.02s + 1)(0.2s + 1)s}$$



发现实际闭环系统和标称模型还是有差距的，因为 Q 滤波器在低频段也不是严格为 1。

最后加入正弦指令信号后，进行响应的分析：

红色为指令信号，粉色为响应信号，可见扰动相对减小！

